

شناسایی و مدل‌سازی خط تمپر میل نورد سرد مجتمع فولاد مبارکه

احسان طهماسبی^۱، آرش دقیقی^۲، محسن عشوریان^۳

۱- دانشجوی کارشناسی ارشد، دانشگاه آزاد اسلامی واحد نجف‌آباد، tahmasebi_59@yahoo.com

۲- استادیار، دانشگاه آزاد اسلامی واحد شهر مجلسی، daghighi_a@hotmail.com

۳- استادیار، دانشگاه آزاد اسلامی واحد شهر مجلسی، mohsena@yahoo.com

چکیده

مسئله شناسایی سیستم عبارت است از تخمین یک مدل از روى سیستم عملی با استفاده از اطلاعات ورودی - خروجی آن سیستم. هدف از این مقاله، مطالعه و بررسی سیستم خط تمپر میل نورد سرد مجتمع فولاد مبارکه، تست عملی و شناسایی این سیستم، ارائه مدل مناسب، مقایسه با داده‌های واقعی و شبیه‌سازی آن می‌باشد. بدین منظور در ابتدا انواع روش‌های شناسایی را نام برد، سپس مراحل مدل‌سازی را شرح می‌دهیم. در ادامه سیستم اعمال نیرو و بر سطح ورق و تنظیم فاصله غلتک‌ها در خط تمپر میل را شناسایی و مدل‌سازی می‌کنیم. مقایسه نتایج شبیه‌سازی با داده‌های عملی بیانگر این است که مدل بدست آمده بخوبی سیستم تمپر میل را تقریب می‌زند.

واژه‌های کلیدی

SISO، شناسایی سیستم، نورد سرد، مدل ARX

۱- مقدمه

۱- شناسایی سیستم‌ها با استفاده از روش‌های کلاسیک که طور کلی روش‌های مبتنی بر پاسخ پله و پاسخ فرکانسی می‌باشد. نکته مورد نظر در این روش‌ها این است که برآنده کردن یک تابع در اطلاعات به دست آمده مشکل است. در نتیجه محاسبه عوامل معنی دار سیستم مشکل می‌باشد [۳].

۲- شناسایی سیستم‌ها با استفاده از روش‌های عددی حداقل مربعات.

در این روش فرض بر این است که هرگونه اندازه‌گیری اطلاعات همراه با خطأ و نویز می‌باشد. همچنین معمولاً هر نوع ساختار در نظر گرفته شده برای مدل‌سازی با واقعیت سیستم اختلاف دارد. از این رو، با استفاده از اطلاعات ورودی - خروجی، تابع انتقال مناسب تخمین زده می‌شود.

در این مقاله با استفاده از روش خطی ARX [۴]، سیستم اعمال نیرو بر سطح ورق^۱ و تنظیم فاصله غلتک‌ها^۲ در خط تمپر میل^۳ از واحد نورد سرد مجتمع فولاد مبارکه شناسایی می‌شود. ساختار این مقاله بدین صورت می‌باشد: در بخش ۲ مبانی شناسایی سیستم‌های خطی دینامیکی و در بخش ۳ به بررسی سیستم‌های

در صنعت انجام تجربه و آزمایش بصورت واقعی گران، خطرناک و در حقیقت غیر عملی می‌باشد. در این موارد مدل‌ها استفاده بسیار مغایرتی دارند. برای بدست آوردن مدل سیستم باید سیستم را شناسایی کرد. طور کلی شناسایی یک سیستم بدست آوردن مدل آن سیستم با استفاده از داده‌های ورودی - خروجی و احتمالاً نویزها می‌باشد که به کمک آزمایش‌های متعدد از همان سیستم حاصل شده‌اند. برای بدست آوردن مدل سیستم‌های فیزیکی دو روش اساسی وجود دارد [۱]:

۱- مدل‌سازی یا بکارگیری قواعد ریاضی حاکم بر قوانین فیزیکی سیستم‌ها.

۲- مدل‌سازی یا بکارگیری روش‌های استاندارد شناسایی سیستم.

در مدل‌سازی با روش‌های استاندارد شناسایی، از اطلاعات ورودی - خروجی سیستم استفاده کرده و مدل‌های مناسب خطی و غیرخطی به این اطلاعات برآنده می‌شود. در حالت کلی روش‌های استاندارد شناسایی را می‌توان به ۲ دسته تقسیم کرد [۲]:

۱۰۱،۰۱۱،۱۱۰،۱۰۰،۰۰۱،۰۱۱،۱۱۰،۱۰۱،۰۱۱،۱۱۱،۱۱۰ همگی به ترتیب قرار دارند. به دلیل صفر و یک بودن این ورودی انجام محاسبات با آن بسیار ساده‌تر از سیگنال نویز می‌باشد.

ب- انتخاب مدل

بعد از مرحله آزمایش‌ها، با توجه به خطی یا غیر خطی بودن سیستم، متغیر یا غیر متغیر با زمان بودن و شرایط دیگر سیستم، مدلی مناسب انتخاب می‌شود.

ج- تخمین مدل

در این مرحله بدست آوردن مجهولات مدل انتخاب شده مثلاً بدست آوردن پارامترهای چند جمله‌ای‌ها در مدل‌های پارامتری مد نظر می‌باشد.

د- ارزیابی مدل

مدل‌های بدست آمده در مراحل قبلی می‌توانند به روش‌های گوناگونی تأیید شود. در حقیقت این قسمت برای تست خروجی مدل و خروجی واقعی است.

باید توجه کرد که الگوریتم شناسایی یک الگوریتم تکرار شونده می‌باشد. یعنی اگر مدل جواب خوبی نداشت باید به مرحله انتخاب مدل یا آزمایش‌ها برگشت و مراحل را دوباره تکرار کرد.

۳- تقسیم‌بندی سیستم‌های خطی دینامیکی

سیستم‌ها را می‌توان به دو دسته MIMO و SISO تقسیم نمود. در اینجا به بررسی هر دو دسته از این مدل‌ها می‌پردازیم. از آنجا که سیستم‌های MIMO تعمیم سیستم‌های SISO هستند، الگوریتم شناسایی را تنها برای سیستم‌های MIMO توضیح می‌دهیم که با کاهش همان معادلات می‌توان به راحتی مدل را برای سیستم‌های SISO بکار برد.

۱-۱- سیستم‌های SISO

این سیستم‌ها دارای یک ورودی و یک خروجی هستند و هدف مدل کردن رابطه بین ورودی و خروجی این سیستم‌هاست. این مدل را می‌توان به صورت یکتابع انتقال و یا به صورت یک مدل فضای حالت بدست آورد.

مدل‌سازی ورودی- خروجی رابطه بین ورودی و خروجی یک سیستم دینامیکی را به صورت یک معادله تفاضلی بیان می‌کند. این معادله در حالت کلی به فرم زیر می‌باشد:

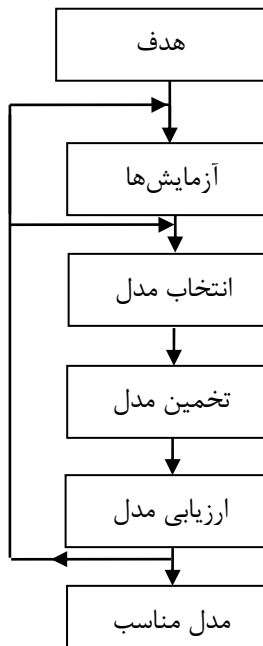
$$y(k) = a_1 y(k-1) + \dots + a_{na} y(k-n_a) + b_0 u(k) + \dots + b_{nb} u(k-n_b) \quad (1)$$

در معادله بالا، $y(k)$ ، خروجی سیستم در لحظه k و $u(k)$ ورودی در لحظه k می‌باشد.

خطی دینامیکی^۵ MIMO و SISO^۶ و انواع مدل‌های شناسایی می‌پردازیم. سپس در بخش ۴ خط تمپر میل فولاد مبارکه را توضیح خواهیم داد. در نهایت در بخش ۵ به شناسایی خط تمپر میل می‌پردازیم.

۲- مبانی شناسایی سیستم‌های خطی دینامیکی

در تمام روش‌های ذکر شده در قسمت قبل، فرآیند شناسایی دارای چند مرحله اساسی است. این مراحل در شکل (۱) نشان داده شده است.



شکل ۱- مراحل شناسایی یک سیستم

الف- آزمایش‌ها

باید توجه شود که در آزمایش‌ها انتخاب ورودی‌ها بسیار مهم است. ورودی باید به اندازه کافی فرکانس‌های مختلف داشته باشد، تا بتواند تمام مدهای سیستم را تحریک کند. شاید اولین انتخاب نویز سفید باشد. نویز سفید از نظر تغیری ورودی مناسبی می‌باشد اما اجرای آن در عمل بسیار مشکل است. به همین دلیل در اغلب موارد از PRBS⁷ برای ورودی استفاده می‌شود [۳]. PRBS یک سیگنال شبیه تصادفی باینری و متناسب است که معروفترین نوع آن توالی m دارای دوره تناوب $2^n - 1$ است و در هر دوره هر عدد باینری n -بیتی یک بار اتفاق می‌افتد. برای مثال وقتی $n = 3$ است توالی m بصورت، ۱۰۱۱۰۰، ۱۰۱۱۱۰۰، ۱۰۱۱۱۰۰ می‌باشد، که در آن اعداد باینری

ورودی بستگی دارد. این دسته از مدل‌ها را مدل‌های پیشگویی نیز می‌گویند.

ب- مدل‌های تابع انتقال

در این دسته از مدل‌ها، خروجی لحظه بعد بر اساس نمونه‌های فعلی و قبلی ورودی و نمونه‌های قبلی خروجی مدل محاسبه می‌شود. این مدل‌ها را چنانچه به صورت معادله‌ی تفاضلی بیان کنیم می‌توان تابع انتقال u را بر حسب u بدست آورد و از این رو آن را مدل تابع انتقال می‌نامند.

نکته دیگر که در این جا باید به آن اشاره کرد تقسیم‌بندی مدل‌ها از نظر رفتار آماری سیستم است. یک سیستم واقعی را می‌توان متشکل از دو بخش قطعی^{۱۱} و غیر قطعی^{۱۲} دانست.

بخش قطعی سیستم همان قسمت اصلی است که به ازای اعمال ورودی بر اساس دینامیک مشخص، خروجی را تحویل می‌دهد. هدف از شناسایی پیدا کردن مدل این قسمت است. همچنین وجود عواملی مانند نویز و منابع اغتشاش دیگر که ما از آنها اطلاع نداریم و باعث تغییر ناخواسته خروجی می‌شود بخش نامشخص و غیر قطعی سیستم می‌باشد.

از این رو در شناسایی یک سیستم می‌توان هر دو قسمت را و یا تنها بخش قطعی را مدل کرد که در نتیجه به مدل‌های متفاوتی منجر می‌شود.

۱-۱-۳- مدل‌های پارامتری

تمامی مدل‌های پارامتری برای سیستمهای SISO مواردی خاص از مدل‌های عمومی زیر هستند:

$$A(q)y(t) = \frac{B(q)}{F(q)}U(t-n_k) + \frac{C(q)}{D(q)}e(t) \quad (7)$$

که n_k نشانگر تأخیر می‌باشد و توابع A , B و F بر حسب اپراتور تأخیری q به صورت زیر تعریف می‌شود:

$$A(q) = 1 + a_1q^{-1} + \dots + a_{n_a}q^{-n_a} \quad (8)$$

$$B(q) = b_0 + b_1q^{-1} + \dots + b_{n_b}q^{-n_b} \quad (9)$$

$$C(q) = 1 + c_1q^{-1} + \dots + c_{n_c}q^{-n_c} \quad (10)$$

$$D(q) = 1 + d_1q^{-1} + \dots + d_{n_d}q^{-n_d} \quad (11)$$

$$F(q) = 1 + f_1q^{-1} + \dots + f_{n_f}q^{-n_f} \quad (12)$$

حالات‌های خاص چند جمله‌ای عمومی با نام‌های مختلف مورد استفاده قرار می‌گیرند که در جدول (۱) نشان داده شده است:

این معادله که یک معادله تفاضلی خطی است بیان می‌کند که خروجی سیستم در هر لحظه k به n_a نمونه خروجی و $n_b + 1$ نمونه قبلی ورودی بستگی دارد. به قسمت مربوط به نمونه قبلی AR^8 و به قسمت مربوط به نمونه قبلی ورودی MA^9 می‌گویند. از این رو مدل فوق را یک مدل $ARMA^{10}$ گویند. هدف پیدا کردن ضریب a_1 تا a_n و b_0 تا b_n می‌باشد. این ضرایب را به صورت یک بردار θ به فرم زیر در نظر می‌گیرند

$$\theta = [a_1, \dots, a_{n_a}, b_0, \dots, b_{n_b}]^T \quad (2)$$

ورودی‌ها و خروجی‌ها بصورت بردار $(k) \varphi$ نشان داده می‌شوند:

$$\phi(k) = [y(k-1), \dots, y(k-n_a), u(k), \dots, u(k-n_b)]^T \quad (3)$$

با توجه به معادله (۲) و (۳) می‌توان معادله (۱) را بصورت زیر نوشت:

$$y(k) = \phi^T(k) \cdot \theta \quad (4)$$

چنانچه مقدار تخمین زده شده θ را θ_H بنامیم و مقدار تخمین زده شده $y(k)$ را $Y_H(k)$ نویسیم. نحوه پیدا کردن θ_H بهینه به روش‌های تخمین مربوط می‌شود که در واقع گام بعدی است و در حالت کلی بصورت زیر می‌باشد:

$$Y_H(k) = \phi^T(k) \cdot \theta_H \quad (5)$$

مدل‌های ورودی- خروجی را می‌توان به دو دسته اساسی مدل‌های ARMA و مدل‌های تابع انتقال تقسیم کرد که در دو قسمت بعد در مورد آنها بطور مختصر توضیح داده شده است.

الف- مدل‌های ARMA

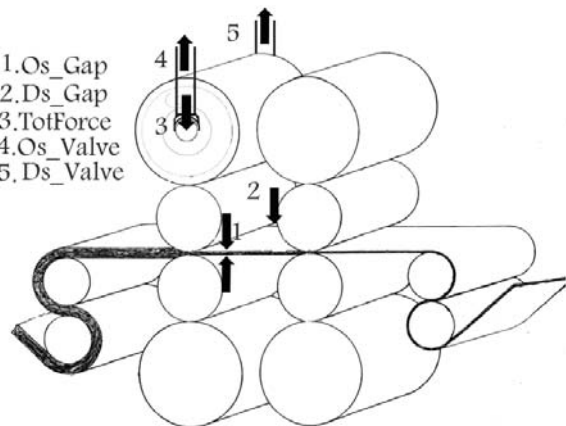
مدل‌های ARMA مدل‌هایی هستند که جهت تخمین بردار θ بکار می‌روند، ولی اساس تخمین بر زوج داده‌های ورودی و خروجی سیستم استوار است. در هر لحظه k

$$y(k+1, \theta_H) = f(u, y, \theta_H, k) \quad (6)$$

رابطه‌ی فوق به این معنی است که مقدار خروجی مدل در لحظه‌ی بعد به نمونه‌های قبلی خروجی سیستم و نمونه‌های قبلی

وظایف این خط عبارتند از:

- ۱- دادن صافی به سطح ورق و از بین بردن امواج
- ۲- ایجاد یک حالت یکنواختی در پستی و بلندی‌های میکروسکوپی ورق
- ۳- ایجاد سختی مطلوب در ورق



شکل ۲- خط تمپر میل به همراه ورودی و خروجی

نورد در تمپر شامل گذراندن ورق با یک فشار کم و دادن کشش مناسب به آن می‌باشد که سطح ورق به صورت مطلوب پرداخت شود. عامل مهم در نورد تمپرمیل، نیروی وارد شده به سطح ورق می‌باشد. فشار مورد نیاز سیستم از طریق دو سرو والو^{۱۴} به نامهای Ds_Valve و Os_Valve تأمین می‌گردد که توسط سیلندرهای هیدرولیکی به جک غلتک‌های پشتیبان وارد می‌شود و سپس به غلتک‌های کاری و از آنجا به سطح ورق وارد می‌شود. سیستم هیدرولیکی فشار مورد نیاز جهت بالانس غلتک‌های کاری و پشتیبان و همچنین فشار مورد نیاز سیستم جهت محدب کردن سطح غلتک^{۱۵} و مقعر کردن سطح غلتک^{۱۶} را تأمین می‌کند. شکل ورق‌ها بعد از عبور از بین غلتک‌ها بصورت محدب یا مقعر می‌باشد، به این دلیل ضخامت در دو طرف ورق نیز مهم می‌باشد. همانگونه که در شکل (۲) نشان داده شده، پارامترهای مهم سیستم خط تمپرمیل، ورودی دو سرو والو Os_Valve و Ds_Valve، ضخامت ورق در طرف اپراتور Os_Gap، نیروی وارد به ورق TotForce می‌باشند.

با توجه به مطالعه گفته شده می‌توان سیستم تمپرمیل را بصورت دو ورودی-سه خروجی در نظر گرفت که در شکل (۳) آمده است [۶].

جدول ۱- حالت‌های خاص چند جمله‌ای عمومی

عنوان ساختار مدل	چند جمله‌ای های مورد استفاده
<i>B</i>	<i>FIR(finite Impulse Response)</i>
<i>AB</i>	<i>ARX</i>
<i>ABC</i>	<i>ARMAX</i>
<i>AC</i>	<i>ARMA</i>
<i>ABD</i>	<i>ARARX</i>
<i>ABCD</i>	<i>ARARMAX</i>
<i>BF</i>	<i>OE(Output Error)</i>
<i>BFCD</i>	<i>BI(Box-Jenkins)</i>

۲-۳- سیستم‌های MIMO

سیستم‌هایی که دارای چند ورودی و چند خروجی باشند، سیستم‌های MIMO می‌باشند. تمامی مدل‌های پارامتری برای سیستم‌های MIMO مواردی خاص از مدل‌های عمومی زیر هستند:

$$A(q)y(t) = \sum_{i=1}^{n_u} \frac{B_i(q)}{F_i(q)} U_i(t-n_{ki}) + \frac{C_i(q)}{D_i(q)} e(t) \quad (13)$$

ساختار مدل ARX^{۱۳} چند متغیره برای سیستمهای MIMO را به فرم زیر در نظر می‌گیرند:

$$A(q)y(t) = \sum_{i=1}^{n_u} B_i(q)U_i(t-n_{ki}) + e(t) \quad (14)$$

که در این رابطه، $y(t)$ بردار خروجی و دارای n_y عضو است. U_i نیز یک بردار n_u عضوی معرف ورودی است. در جمله فوق A و B چند جمله‌ای‌های ماتریسی از عملگر q و از مرتبه n_A و n_B می‌باشند. به عنوان مثال:

$$A(q) = 1 + A_1 q^{-1} + \dots + A_{na} q^{-na} \quad (15)$$

$$B(q) = B_0 + B_1 q^{-1} + \dots + B_{nb} q^{-nb} \quad (16)$$

که A_n تا A_1 ماتریس‌هایی با ابعاد $p \times p$ می‌باشند. p تعداد خروجی‌های سیستم است.

۴- خط تمپرمیل نورد سرد مجتمع فولاد مبارکه

ورق بعد از عبور از کوره‌های بازپخت بسیار نرم می‌شود، لذا برای حصول خواص مکانیکی مناسب باید بطريقی سطح ورق را سخت نمود و این کار با عبور از خط تمپرمیل دو قفسه‌ای میسر است. هر قفسه دارای دو غلتک کاری و دو غلتک پشتیبان می‌باشد. نورد تمپر با دو قفسه چهار غلتکی (دو غلتک کاری و دو غلتک پشتیبان) جهت سخت کردن ورقی که به طور سرد کاهش ضخامت یافته و از کوره‌های بازپخت عبور کرده است با یک فشار کم بر روی ورق طراحی شده است.

تفاضلی مربوط به خروجی دوم می باشد. در اینجا چون مدل بصورت چند ورودی چند خروجی است، n_k , n_b و n_a بصورت ماتریسی می باشند. در n_a هر درایه تعداد شیفت ها در خروجی را مشخص می کند. بطور مثال a_{21} در سطر دوم، n_a در معادله تفاضلی دوم به صورت زیر عمل می کند:

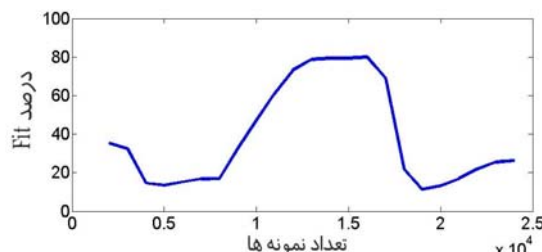
$$y_2(t) = \dots + k_1 y_2(t-1) + k_2 y_2(t-2) + \dots + k_{a21} y_2(t-a_{21}) + \dots \quad (20)$$

درایه های n_k و n_b بطور مشترک با هم تعداد شیفت ها در ورودی را مشخص می کنند. به طور مثال b_{11} در ماتریس b و k_{11} در ماتریس k به همراه هم در معادله به صورت زیر تأثیر می گذارد:

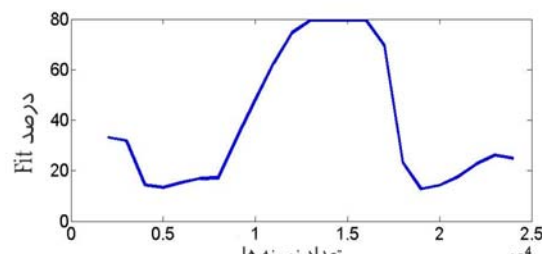
$$y_1(t) = \dots + l_1 u_1(t-k_{11}) + l_2 u_1(t-(k_{11}+1)) + \dots + l_{a21} u_1(t-(k_{11}+b_{11})) + \dots \quad (21)$$

برای تنظیم هر چه بهتر مدل باید درایه های این ماتریس ها را به نحو مطلوب تغییر داد.

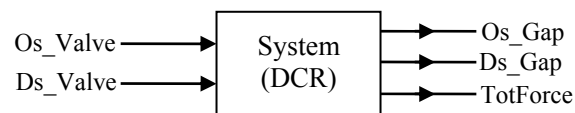
در ابتدا باید داده ها را دو قسمت کنیم. یک قسمت برای آموزش مدل و قسمت دوم برای تست مدل. حال برای اینکه تقسیم بندی مناسبی بین داده های آموزش و تست پیدا کنیم، مقادیر دلخواه ثابت برای n_b , n_a و n_k در نظر گرفته و تعداد دیتای آموزشی را از ۱۰٪ تا ۹۵٪ تعداد دیتای کل تغییر دادیم و مقادیر درصد Fit را هر بار محاسبه کردیم که در شکل (۴) رسم شده اند.



شکل(۴-الف) نمودار تغییر Fit برای DS_Gap



شکل(۴-ب) نمودار تغییر Fit برای OS_Gap



شکل ۳- خط تمپر میل بصورت دو ورودی- سه خروجی

۵- شبیه سازی و نتایج

همانطور که در مقدمه گفته شد، کار شناسایی سیستم به دو قسمت عملی (آزمایش و انجام آن) و قسمت نظری (تئوری و مدل ریاضی) تقسیم می شود [۷].

آزمایش ها را در دو مرحله انجام دادیم، در مرحله نخست پاسخ پله سیستم را بدست آوردیم تا بتوانیم مشخصه های مهم سیستم مانند زمان تأخیر، ثابت زمانی و... را بدست آوریم. این نتایج مشخص می کند که شرایط برای آزمایش اصلی که داده ها را برای شناسایی می دهد مهیا است یا نه. در آزمایش دوم داده های را که برای شناسایی نیاز است بدست آوردیم.

برای مدل سازی به خروجی ها (Os_Gap, Ds_Gap), ورودی ها (Ds_Valve, Os_Valve), TotForce نمونه برداری (T_s) و سه متغیر n_k , n_b و n_a نیاز می باشد:

$$Y = [Os_Gap, Ds_Gap, TotForce] \quad (17)$$

$$U = [Os_Valve, Ds_Valve] \quad (18)$$

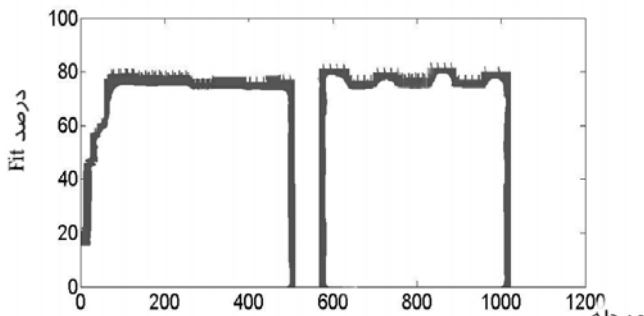
در مدل های SISO متغیرهای n_a , n_b و n_k به صورت یک عدد ثابت می باشد. حال آنکه در مدل های MIMO متغیرهای n_a , n_b و n_k بصورت ماتریسی می باشد که ماتریس n_a دارای $N_y \times N_u$ ابعاد و n_b , n_k دارای ابعاد $(N_y \times N_y)$ می باشند.

$$n_a = \begin{bmatrix} a_{11} & a_{12} & a_{13} \\ a_{21} & a_{22} & a_{23} \\ a_{31} & a_{32} & a_{33} \end{bmatrix}, n_b = \begin{bmatrix} b_{11} & b_{12} \\ b_{21} & b_{22} \\ b_{31} & b_{32} \end{bmatrix}, n_k = \begin{bmatrix} k_{11} & k_{12} \\ k_{21} & k_{22} \\ k_{31} & k_{32} \end{bmatrix} \quad (19)$$

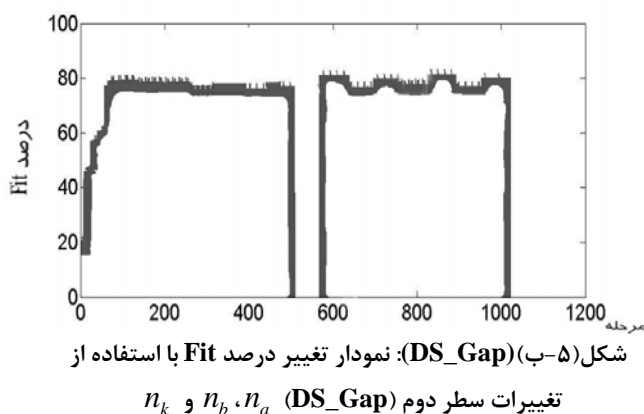
در ماتریس های n_a , n_b و n_k هر سطر برای تنظیم ضرایب مربوط به معادله تفاضلی بین یک خروجی، خروجی های دیگر و ورودی ها می باشد. برای مثال سطر دوم برای تنظیم ضرایب معادله

ثبت شدند. در انتهای شکل ها بر اساس درصد Fit بر حسب شماره مرحله رسم شدند.

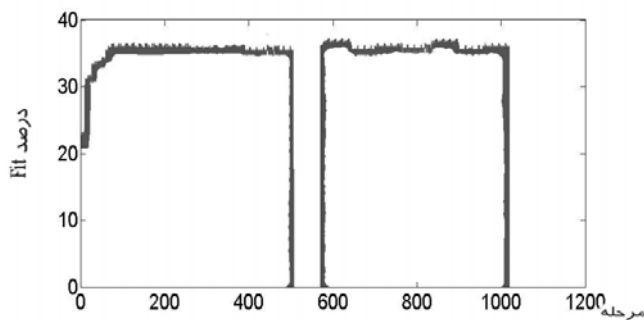
نتایج بررسی دو قسمت یعنی برای قسمت اول (DS_Gap) و قسمت دوم (TotForce) (OS_Gap) در شکل (۵) آمده است.



شکل (۵-الف) (OS_Gap): نمودار تغییر درصد Fit با استفاده از تغییرات سطر اول (n_k , n_b , n_a) (OS_Gap)

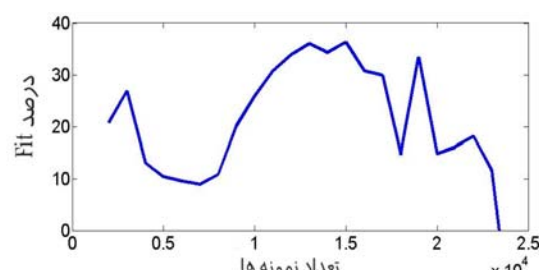


شکل (۵-ب) (DS_Gap): نمودار تغییر درصد Fit با استفاده از تغییرات سطر دوم (n_k , n_b , n_a) (DS_Gap)



شکل (۵-ج) (TotForce): نمودار تغییر درصد Fit با استفاده از تغییرات سطر سوم (n_k , n_b , n_a) (TotForce)

شکل ۵- نمودار تغییر درصد Fit با استفاده از تغییرات سطرهای n_k , n_b , n_a



شکل (۴-ج) نمودار تغییر Fit برای TotForce
شکل ۴- نمودارهای تغییر Fit با استفاده از تعداد داده های آموزشی

با توجه به نمودارها می توان به این نتیجه رسید که ماکریم بدست آمده در سه نمودار در وسط داده ها می باشد. به این معنی که برای رسیدن به بهترین Fit باید داده ها را نصف کرد، بطوری که نیمی از داده ها برای آموزش و نیمه دیگر را برای تست قرار دهیم. برای بدست آوردن Fit مناسب باید درایه های n_k , n_b , n_a را دوباره تغییر دهیم تا به Fit دقیق تری نسبت به حالت قبل برسیم. اگر بخواهیم همه درایه ها را با هم بررسی کنیم، با فرض اینکه هر درایه تنها ۳ بار تغییر کند، در حدود 3^{21} حالت خواهیم داشت. با فرض اینکه زمان محاسبه هر حالت یک ثانیه طول بکشد، برای بررسی کل حالات به چندین سال زمان نیاز داریم که در واقع غیر ممکن می باشد. به این خاطر، مراحل را تکه تکه کرده و به صورت زیر انجام می دهیم.

مدل دو ورودی- سه خروجی می باشد، به همین دلیل n_a , n_b و n_k باید دارای سه سطر باشند که هر سطر یک معادله دیفرانسیل مربوط به یک خروجی را بر حسب دیگر خروجی ها و ورودی ها مشخص می کند. یعنی می توان گفت با تغییر درایه های هر سطر در n_a , n_b و n_k می توان خروجی مربوط به همان سطر را تغییر داد تا به مقدار مطلوب رسید.

با توجه به نکات گفته شده می توانیم هر دفعه با تغییر درایه های یک سطر، یکی از خروجی ها را تخمین بزنیم، ولی با توجه به ساختار فیزیکی تمپر میل دو خروجی OS_Gap, DS_Gap به هم وابسته می باشند. به همین دلیل یکبار با تغییر درایه های سطر اول و دوم n_k , n_b , n_a مربوط خروجی های OS_Gap, DS_Gap این خروجی ها را تخمین زده و در مرحله بعد درایه های مربوط به خروجی TotForce را تخمین می زنیم و آنقدر این کار را تکرار کنیم تا به بهترین مدل برسیم.

در بررسی ها تغییر هر درایه یک مرحله در نظر گرفته شده و در هر مرحله ماتریس های n_k , n_b و n_a ، شماره مرحله و درصد Fit

$$A_0 = \begin{bmatrix} 1 & 0 & 0 \\ 0 & 1 & 0 \\ 0 & 0 & 2 \end{bmatrix},$$

$$A_1 = \begin{bmatrix} 0 & -0.2161 & 0 \\ 0 & -1.7184 & 0 \\ 0.0365 & 0.0046 & -0.0866 \end{bmatrix},$$

$$A_2 = \begin{bmatrix} 0 & 0.7949 & 0 \\ 0 & 0.7185 & 0 \\ -0.0367 & 0.0114 & -0.3637 \end{bmatrix},$$

$$A_3 = \begin{bmatrix} 0 & 0.7949 & 0 \\ 0 & 0.7185 & 0 \\ -0.0367 & 0.0114 & -0.3637 \end{bmatrix},$$

$$B_0 = \begin{bmatrix} 0 & 105.7295 \\ 40.6181 & -1.8256 \\ 0.2626 & 0 \end{bmatrix}, \quad (۲۴)$$

$$B_1 = \begin{bmatrix} 0 & 6.1735 \\ -69.5313 & 1.3312 \\ 0 & 0 \end{bmatrix},$$

$$B_2 = \begin{bmatrix} 0 & 0 \\ 27.3895 & -0.2607 \\ 0 & 0 \end{bmatrix},$$

$$B_3 = \begin{bmatrix} 0 & 0 \\ 0 & 0.0506 \\ 0 & 0 \end{bmatrix}$$

و در نهایت خروجی سیستم و خروجی مدل برای دیتای تست در شکل (۶) آمده است.

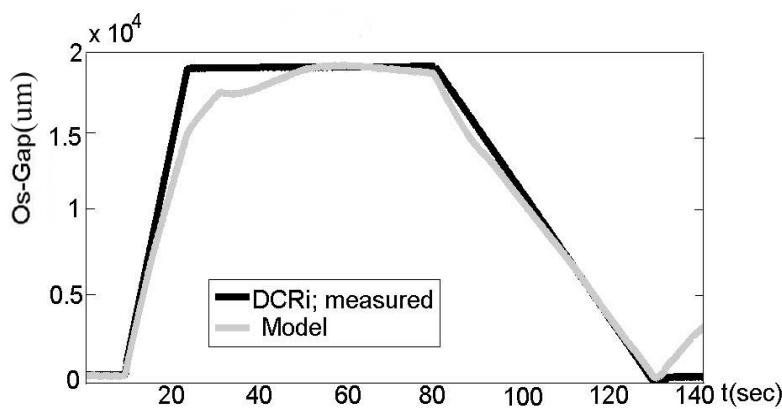
با توجه به نمودارها بهترین حالت عددی برای ماتریس‌های n_a , n_b , n_k در زیر آمده است:

$$n_a = \begin{bmatrix} 1 & 3 & 0 \\ 1 & 1 & 0 \\ 1 & 1 & 2 \end{bmatrix}, n_b = \begin{bmatrix} 2 & 1 \\ 2 & 3 \\ 3 & 3 \end{bmatrix}, n_k = \begin{bmatrix} 0 & 0 \\ 0 & 0 \\ 0 & 0 \end{bmatrix} \quad (۲۲)$$

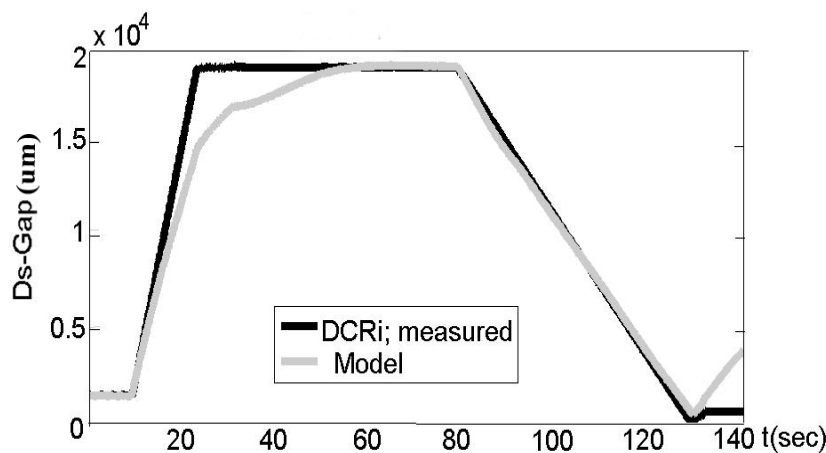
بعد از بدست آوردن بهترین مدل، معادلات سیستم بصورت زیر بدست می‌آیند:

$$\begin{aligned} A_0 \begin{bmatrix} y_1(t) \\ y_2(t) \\ y_3(t) \end{bmatrix} &= A_1 \begin{bmatrix} y_1(t-1) \\ y_2(t-1) \\ y_3(t-1) \end{bmatrix} + A_2 \begin{bmatrix} y_1(t-2) \\ y_2(t-2) \\ y_3(t-2) \end{bmatrix} \\ &+ A_3 \begin{bmatrix} y_1(t-3) \\ y_2(t-3) \\ y_3(t-3) \end{bmatrix} + B_0 \begin{bmatrix} u_1(t) \\ u_2(t) \end{bmatrix} + B_1 \begin{bmatrix} u_1(t-1) \\ u_2(t-1) \end{bmatrix} \quad (۲۳) \\ &+ B_2 \begin{bmatrix} u_1(t-2) \\ u_2(t-2) \end{bmatrix} + B_3 \begin{bmatrix} u_1(t-3) \\ u_2(t-3) \end{bmatrix} \end{aligned}$$

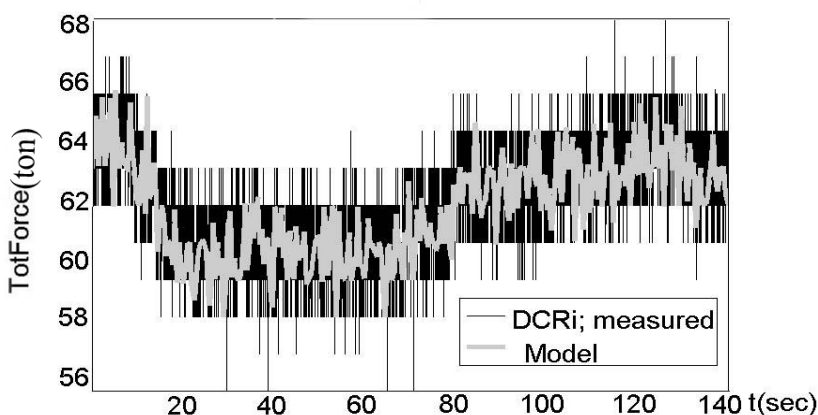
ماتریس‌های A و B ضرایب چند جمله‌ای‌ها را مشخص می‌کنند، که با توجه به n_a , n_b و n_k بدست آمده اینگونه می‌باشند:



شکل(۶-الف): نمودار Fit برای DS_Gap



شکل(۶-ب): نمودار Fit برای OS_Gap



شکل(۶-ج): نمودار Fit برای TotForce

شکل ۶- خروجی سیستم و خروجی مدل

فولاد مبارکه و مقادیر n_a , n_b و n_k انتخابی به نحو مطلوبی می‌باشد و در نتیجه بین خروجی مدل و خروجی سیستم Fit مناسبی بدست آمده است.

۶- نتیجه‌گیری

در این مقاله توانستیم از بین مدل‌های موجود مدلی مناسب برای شناسایی خط تمپر میل نورد سرد مجتمع فولاد مبارکه انتخاب کرده و سیستم دو ورودی- سه خروجی تمپر را با استفاده از

همانطور که در شکل‌های (۶-الف) و (۶-ب) دیده می‌شود، سیستم شناسایی شده دیتای عملی را وقتی Os_Gap و Ds_Gap از مقدار حدود ۳۵۰۰ μm تا بیش از ۱۶۰۰۰ μm در رنج کاری سیستم تغییر می‌کند، به خوبی دنبال می‌کند. کل نیروی وارد به ورق که توسط لودسل^{۱۷} تعییه شده در دستگاه تمپر میل اندازه‌گیری شده به همراه مقدار تخمین آن توسط معادله شناسایی شده در این قسمت در شکل (۶-ج) نشان داده شده است. با توجه به شکل‌های بدست آمده مدل ارائه شده برای خط تمپر میل نورد سرد مجتمع

۹-پی‌نوشت‌ها

- 1- Fit
- 2 - Force Loop
- 3 - Gap Loop
- 4 - Temper Mill
- 5 - Multi Input Multi Output
- 6 - Single Input Single Output
- 7 - Pseudo-Random Binary Sequence
- 8 - Auto Regressive
- 9 - Moving Average
- 10 - Auto Regressive Moving Average
- 11 - Deterministic
- 12 - Stochastic
- 13 - Auto Regressive with eXternal input
- 14 - Servo Valve
- 15 - Contour in
- 16 - Contour out

مدل ARX شناسایی و مدل سازی کنیم. نتایج بدست آمده نشان می‌دهد که خروجی مدل استفاده شده به نحو مطلوبی خروجی سیستم واقعی را دنبال می‌کند.

۷-تقدیر و تشکر

داده‌های عملی از دستگاه تمپر میل، براساس دستور کار شماره ۱ از قرارداد شماره ۴۸۲۳۷۲۸۴ بین دانشگاه آزاد اسلامی واحد شهر مجلسی و شرکت فولاد مبارکه اصفهان تحت نظرارت و به مری گری آقای دکتر آرش دقیقی جمع‌آوری شده است. بدینوسیله نویسنده‌گان این مقاله از معاونت تکنولوژی، مدیریت تحقیق و توسعه، مدیریت نورد سرد یک و کارشناسان تحقیق و توسعه مجتمع فولاد مبارکه که امکان انجام این تست‌ها و آزمایش‌ها را فراهم نمودند، کمال تشکر و قدردانی را دارند.

۸-مراجع

- [1] Lennart Ljung, Prentice Hall PTR: "**System Identification: Theory for the User**" University Sweden, 1999.
- [2] م. کراری، "دینامیک و کنترل سیستم‌های قدرت"، دانشگاه صنعتی امیرکبیر، ۱۳۸۱.
- [3] J. P. Norton, "**An Introduction to Identification**", Academic Press, 1986.
- [4] MATLAB Software, V 7.4.0.287, 2007.
- [5] K. Gustafsson, "**Logger - A Program for Data Logging**", Technical Report, Department of Automatic Control, Lund Institute of Technology, 1989.
- [6] آ. دقیقی، "بهینه‌سازی کنترل کننده‌های **PID** خط تمپر میل نورد سرد با استفاده از کنترل مدرن"، گزارش فنی، دانشگاه آزاد اسلامی واحد شهر مجلسی، ۱۳۸۶.
- [7] م. میوه چی. احمدی، "شناسایی سیستم، روشی مناسب برای تعیین مشخصه‌های دینامیکی و ارزیابی سدهای بزرگ در برابر زلزله"، دانشگاه تربیت مدرس تهران، ۱۳۷۸.